

# Principe Fondamental de la Dynamique :

Lien entre les causes et les effets s'agissant du mouvement des solides indéformables

# Principe Fondamental de la Dynamique d'un solide rigide

Les principes fondamentaux de la physique sont les causes premières des lois de la nature. En cela, ils ne sont pas démontrables (sinon ils découleraient de principes plus fondamentaux encore), mais peuvent être réfutés par l'expérience. Ils sont comparables aux axiomes des mathématiques.

PFD :

Dans un référentiel inertiel (ou galiléen, ou non-accélééré), le torseur de la somme des efforts extérieurs s'exerçant sur un solide rigide est égal (équivalent) à son torseur dynamique.

# Principe Fondamental de la Dynamique d'un solide rigide

$$\tau_{F^e} \left\{ \begin{array}{l} \sum \vec{R}^{ext \rightarrow S} \\ \sum \vec{M}_O^{\vec{R}^{ext \rightarrow S}} \end{array} \right\}_{O/\mathcal{R}} = \tau_D \left\{ \begin{array}{l} m \vec{\Gamma}_{/\mathcal{R}}^G \\ \vec{\delta}_{S/O} \end{array} \right\}_{O/\mathcal{R}}$$

Torseur des efforts extérieurs

Torseur dynamique

Moment dynamique de S

point quelconque  $\bullet O$

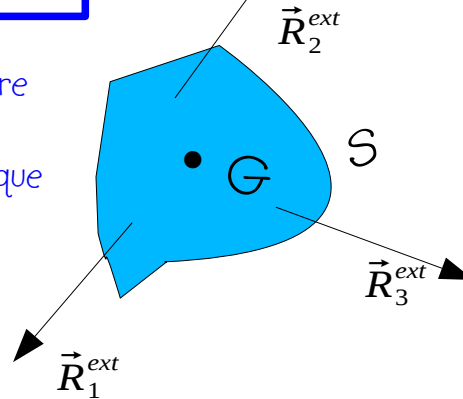
$\mathcal{R}$  référentiel inertiel (ou galiléen)  
(ou non-accélééré)

$$\sum \vec{R}^{ext \rightarrow S} = m \vec{\Gamma}_{/\mathcal{R}}^G$$

Théorème du centre d'inertie ou de la résultante dynamique

$$\sum \vec{M}_O^{\vec{R}^{ext \rightarrow S}} = \vec{\delta}_{S/O}$$

Théorème du moment dynamique



G centre d'inertie

$$m \vec{OG} = \int_S \rho(M) \vec{OM} dV$$

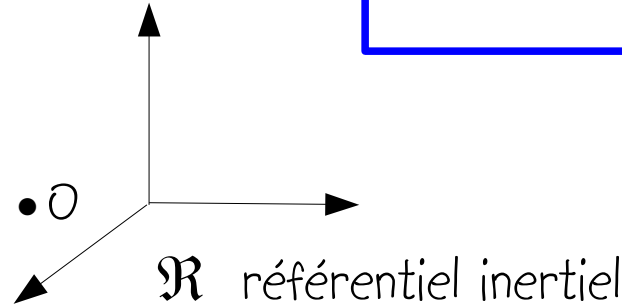
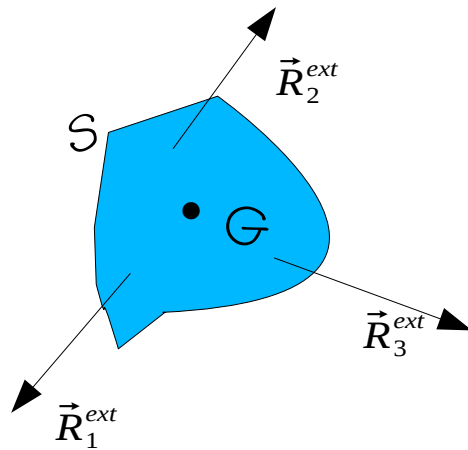
Six équations pour 6 degrés de liberté => Problème soluble !

# Rappel : relation entre les moments dynamique et cinétique



$$\vec{\delta}_{S/O} = \frac{d}{dt}(\vec{L}_{S/O}) + m \vec{V}_{/R}^O \wedge \vec{V}_{/R}^G$$

Si  $O$  est quelconque



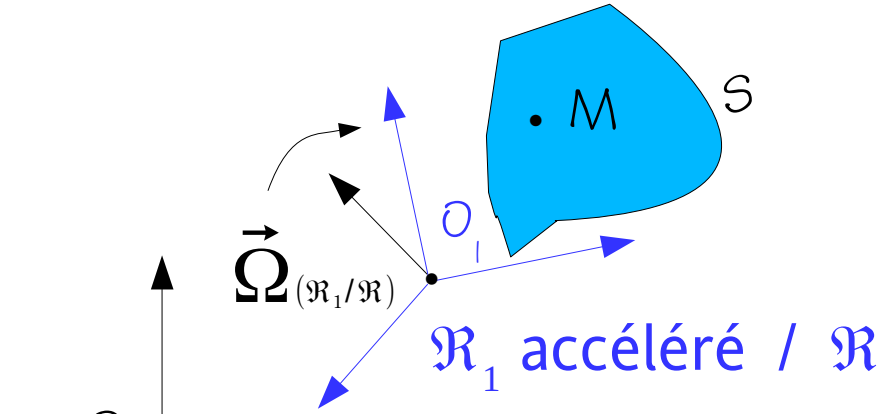
Si  $O=G$  ou  $O$  est fixe /  $R$  ou  $\vec{V}_{/R}^O = \alpha \vec{V}_{/R}^G$

$$\vec{\delta}_{S/O} = \frac{d}{dt}(\vec{L}_{S/O})$$

Théorème du moment cinétique

$$\sum \vec{M}_O^{\vec{R}^{ext \rightarrow S}} = \frac{d}{dt}(\vec{L}_{S/O})$$

# PFD dans un référentiel non-inertiel (accéléré)



$$\tau_{D/\mathcal{R}} = \tau_{D/\mathcal{R}_1} + \tau_{D-\mathcal{R}_1/\mathcal{R}} + \tau_{D-\text{Coriolis}}$$

Tenseur des efforts d'inertie (avec le signe -)

$$\tau_{D/\mathcal{R}_1} = \tau_{F^e} - \tau_{D-\mathcal{R}_1/\mathcal{R}} - \tau_{D-\text{Coriolis}}$$

Tenseur de Coriolis (avec le signe -)

$$\vec{\Gamma}_{/\mathcal{R}}^M = \vec{\Gamma}_{/\mathcal{R}_1}^M + \vec{\Gamma}_{/\mathcal{R}}^{O_1} + \underbrace{\dot{\vec{\Omega}}_{(\mathcal{R}_1/\mathcal{R})} \wedge \overline{O_1 M} + \vec{\Omega}_{(\mathcal{R}_1/\mathcal{R})} \wedge (\vec{\Omega}_{(\mathcal{R}_1/\mathcal{R})} \wedge \overline{O_1 M})}_{\text{Accélération d'entraînement}} + 2\vec{\Omega}_{(\mathcal{R}_1/\mathcal{R})} \wedge \vec{V}_{/\mathcal{R}_1}^M$$

Accélération d'entraînement

Accélération de Coriolis

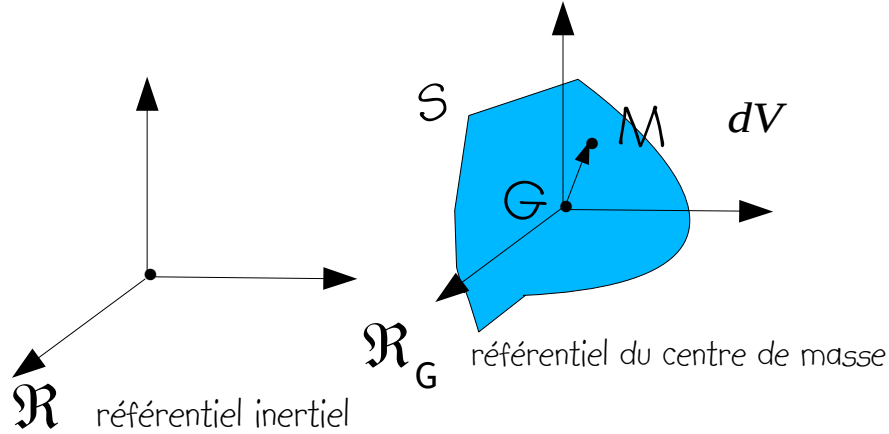
$$\tau_{D/\mathcal{R}}$$

$$\tau_{D/\mathcal{R}_1}$$

$$\tau_{D-\mathcal{R}_1/\mathcal{R}}$$

$$\tau_{D-\text{Coriolis}}$$

# PFD dans le référentiel du centre de masse (accéléré)



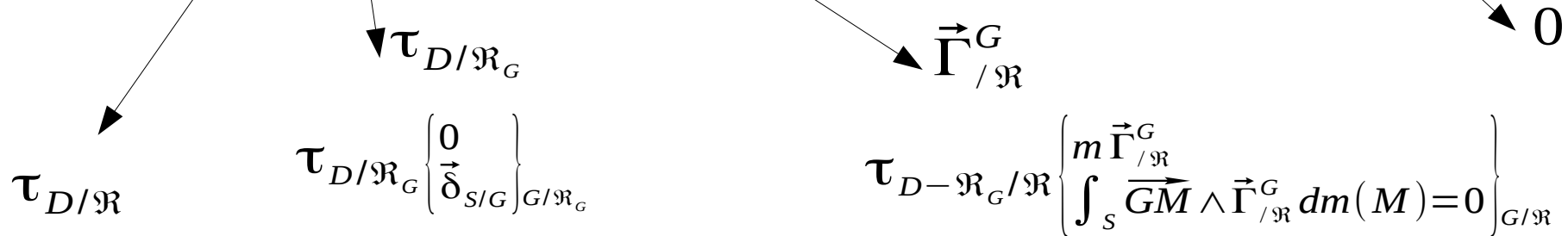
$$\vec{\Omega}_{(\mathcal{R}_G/\mathcal{R})} = \vec{0}$$

$$\tau_{D/\mathcal{R}_G} = \tau_{F^e} - \tau_{D-\mathcal{R}_G/\mathcal{R}}$$

$$\sum \vec{R}^{ext \rightarrow S} = m \vec{\Gamma}_{/\mathcal{R}}^G \qquad \sum \vec{M}_G^{\vec{R}^{ext \rightarrow S}} = \vec{\delta}_{S/G}$$

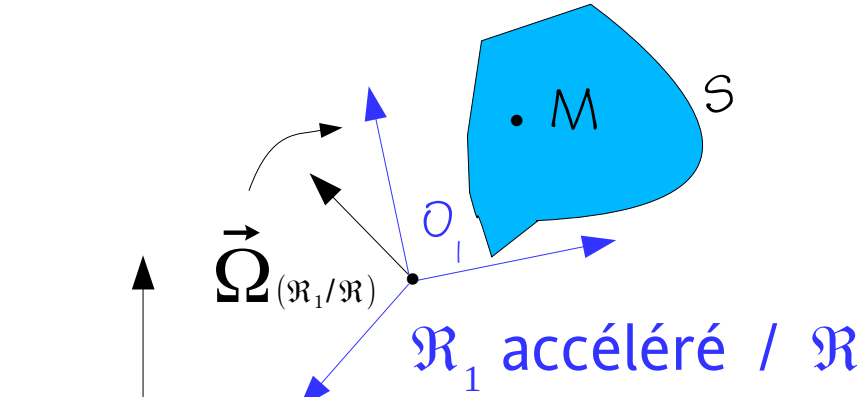
Similaire au PFD dans réf. inertiel mais pour le point G uniquement

$$\vec{\Gamma}_{/\mathcal{R}}^M = \vec{\Gamma}_{/\mathcal{R}_G}^M + \vec{\Gamma}_{/\mathcal{R}}^G + \underbrace{\dot{\vec{\Omega}}_{(\mathcal{R}_G/\mathcal{R})} \wedge \overline{GM} + \vec{\Omega}_{(\mathcal{R}_G/\mathcal{R})} \wedge (\vec{\Omega}_{(\mathcal{R}_G/\mathcal{R})} \wedge \overline{GM})}_{\vec{\Gamma}_{/\mathcal{R}}^G} + 2 \vec{\Omega}_{(\mathcal{R}_G/\mathcal{R})} \wedge \vec{V}_{/\mathcal{R}_G}^M$$



# PFD dans un référentiel non-inertiel (accéléré)

Si  $S$  est immobile par rapport à  $\mathcal{R}_1$



$$0 = \tau_{F^e} - \tau_{D-\mathcal{R}_1/\mathcal{R}}$$

Torseur des efforts d'inertie (avec le signe -)

Problème de statique mais avec des efforts d'inertie supplémentaires

$$\vec{\Gamma}_{/\mathcal{R}}^M = \vec{\Gamma}_{/\mathcal{R}_1}^M + \vec{\Gamma}_{/\mathcal{R}}^{O_1} + \underbrace{\dot{\vec{\Omega}}_{(\mathcal{R}_1/\mathcal{R})} \wedge \overline{O_1 M}}_{\text{Accélération d'entraînement}} + \underbrace{\vec{\Omega}_{(\mathcal{R}_1/\mathcal{R})} \wedge (\vec{\Omega}_{(\mathcal{R}_1/\mathcal{R})} \wedge \overline{O_1 M})}_{\text{Accélération de Coriolis}} + 2\vec{\Omega}_{(\mathcal{R}_1/\mathcal{R})} \wedge \vec{V}_{/\mathcal{R}_1}^M$$

$\tau_{D/\mathcal{R}}$

0

Accélération d'entraînement

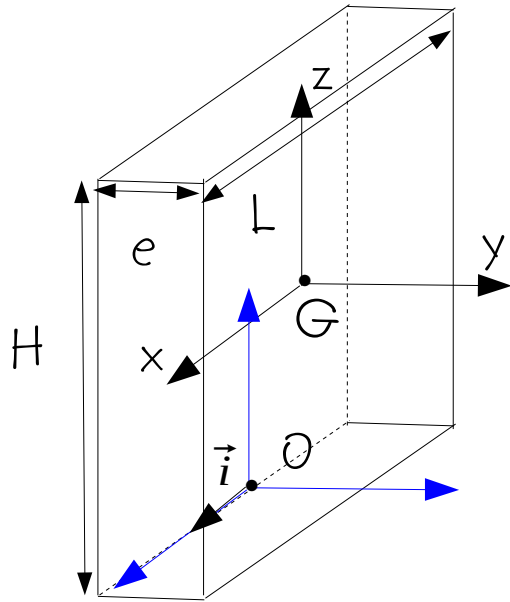
$\tau_{D-\mathcal{R}_1/\mathcal{R}}$

Accélération de Coriolis

0

# Exemple : retour sur la plaque qui bascule (voir cours sur la cinétique)

Quand la plaque bascule,  $O$  est fixe et le vecteur vitesse de rotation est selon  $(0,x)$   $\vec{\omega} = \omega \vec{i}$

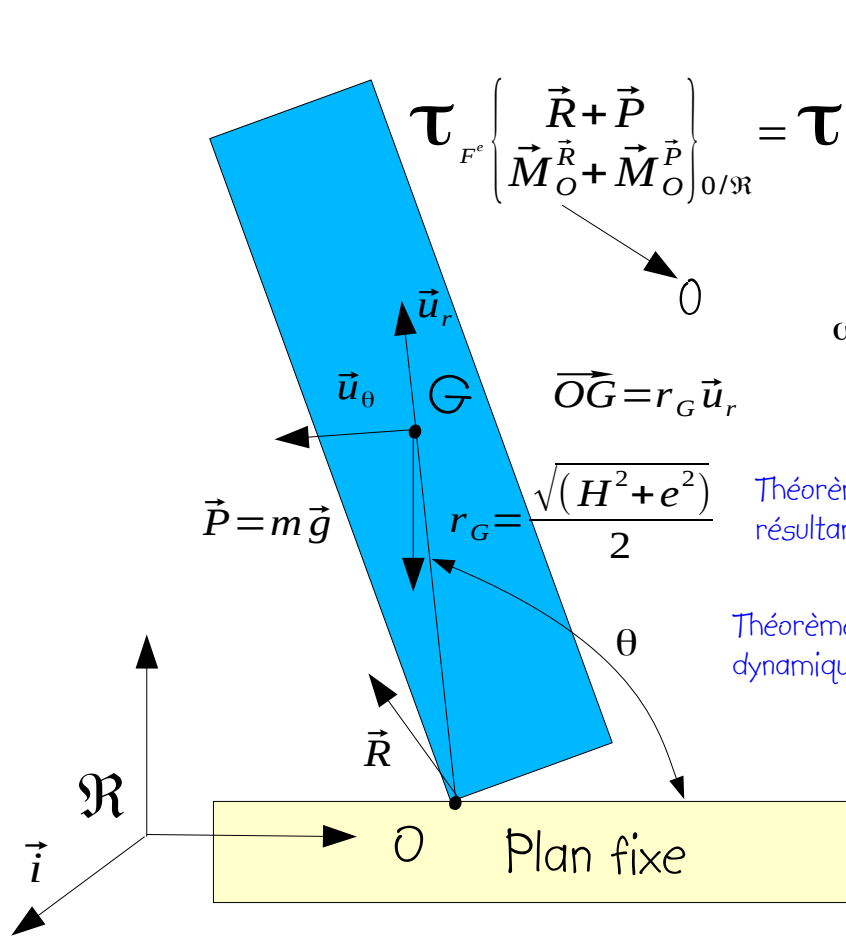


$$\vec{L}_0 = I_0 \omega \vec{i} = \begin{pmatrix} A + m\left(\frac{e^2}{4} + \frac{H^2}{4}\right) & 0 & 0 \\ 0 & B + m\left(\frac{H^2}{4}\right) & \frac{-meH}{4} \\ 0 & \frac{-meH}{4} & C + m\left(\frac{e^2}{4}\right) \end{pmatrix} \begin{pmatrix} \omega \\ 0 \\ 0 \end{pmatrix}$$

Le moment cinétique de la plaque qui bascule est donc :  $\vec{L}_0 = \left( A + m\left(\frac{e^2}{4} + \frac{H^2}{4}\right) \right) \omega \vec{i} = \frac{m}{3} (e^2 + H^2) \omega \vec{i}$



Exemple : On pousse un peu trop, la plaque bascule et chute ! (voir cours d'introduction)



$$\mathcal{T}_{F^c} \left\{ \begin{array}{l} \vec{R} + \vec{P} \\ \vec{M}_O^{\vec{R}} + \vec{M}_O^{\vec{P}} \end{array} \right\}_{O/\mathcal{R}} = \mathcal{T}_D \left\{ \begin{array}{l} \frac{d\vec{P}}{dt} = m \vec{\Gamma}_{G/\mathcal{R}} \\ \vec{\delta}_O = \frac{d\vec{L}_O}{dt} \end{array} \right\}_{O/\mathcal{R}} \quad \begin{array}{l} \vec{L}_O = \frac{m}{3} (e^2 + H^2) \omega \vec{i} = \frac{4m}{3} r_G^2 \omega \vec{i} \\ \frac{d\vec{L}_O}{dt} = \frac{4m}{3} r_G^2 \dot{\omega} \vec{i} \end{array}$$

$$\omega = \frac{d\theta}{dt} = \dot{\theta} \quad \frac{\pi}{2} \leq \theta \leq \pi - \text{artg}\left(\frac{e}{H}\right) \quad \text{À } t=0 \quad \theta = \frac{\pi}{2}, \quad \omega = 0$$

$$R_x = 0$$

Théorème de la résultante dynamique

$$-m r_G \omega^2 = -m g \sin \theta + R_r \Rightarrow R_r = m (g \sin \theta - r_G \omega^2)$$

$$m r_G \dot{\omega} = -m g \cos \theta + R_\theta$$

Théorème du moment dynamique

$$-m g r_G \cos \theta = \frac{4m}{3} r_G^2 \dot{\omega} \Rightarrow \dot{\omega} = \ddot{\theta} = -\frac{3}{4} \frac{g}{r_G} \cos \theta$$

$$m r_G \dot{\omega} = -m g \cos \theta + R_\theta \Rightarrow R_\theta = \frac{m g}{4} \cos \theta$$

Le mouvement peut être programmé sur ordinateur, on initialise à  $t = 0$  par  $\theta = \pi/2 + \varepsilon$

```

1 # Chute de la plaque - Johann Collot
2 # 14/03/2021
3 import matplotlib
4 import matplotlib.pyplot as plt
5 import numpy as np
6 import math as m
7
8 # Data for plotting
9
10 H=1. # m
11 e=0.5 # m
12 g=9.81
13
14 w=0. # vitesse angulaire
15 wp=0. # accélération angulaire
16 theta=m.pi/2. + 0.00001 # valeur initiale de l'angle
17 rg=m.sqrt(H*H+e*e)/2. # rayon du centre de masse
18 thetamax = m.pi - m.atan(e/H) # angle max.
19 deltat = 0.01 # increment temporel
20 t=0. # temps initial
21
22 at=[0.] # tableau des temps
23 atheta=[theta*180./m.pi] # tableau des angles
24 i=0
25
26 while theta < thetamax :
27     wp= -0.75 *g/rg*m.cos(theta)
28     w=w+wp*deltat
29     theta=theta+w*deltat
30     t=t+deltat
31     at.append(t)
32     atheta.append(theta*180./m.pi)
33     i=i+1
34 print ("nombre de points :", i)
35 fig, ax = plt.subplots()
36 ax.plot(at,atheta,'r.',ms=2.)
37
38 ax.set(xlabel=u"temps (s)", ylabel=u"angle (en degrés)",
39        title=u"Chute de la plaque")
40 ax.grid()
41 fig.savefig("Chute-Plaque.jpg")

```

## Programme python de calcul du mouvement de chute

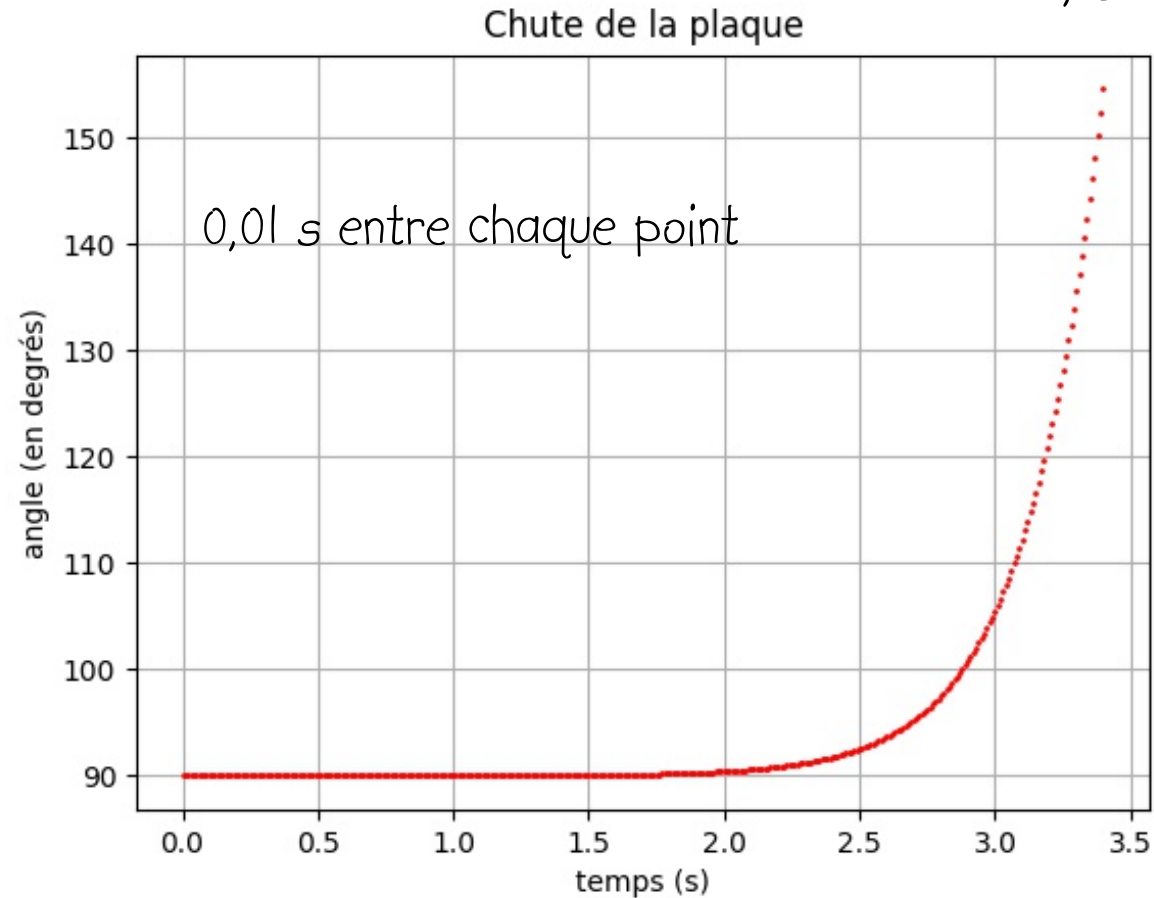
## Exemple : Brutale sera la chute !

$H = 1 \text{ m}$ ,  $e = 50 \text{ cm}$

Message aux  
scientifiques en herbe :

Il serait bon que vous  
appreniez à produire  
cela sur un ordinateur.

Ce modèle peut être utilisé  
pour estimer le temps  
de chute de nombreux  
corps : arbres, poteaux,  
tours ...



## Exercice : Chute d'une plaque

Montrer que les réactions normale et tangentielle du sol sont telles que :

$$R_N = m g$$

$$R_T = m \left( \frac{3g}{4} \sin \theta \cos \theta - r_G \omega^2 \cos \theta \right)$$

Montrer alors que la condition de non-glissement de la plaque sur le sol conduit à :

$$\left| \frac{R_T}{R_N} \right| = \frac{3}{8} \sin 2\theta - \frac{r_G \omega^2 \cos \theta}{g} \leq \alpha_s \quad \text{où } \alpha_s \text{ est le coefficient de frottement statique}$$

Modifier le programme python précédent pour déterminer la valeur maximale de  $\alpha_s$  (résultat : 0,45). Si le coefficient de frottement est inférieur à cette valeur la plaque glisse à un moment donné au lieu de basculer simplement ...

## Exemple 2 : moto dans un virage de rayon R à vitesse V constante



PFD appliqué dans le référentiel du centre d'inertie

$$\sum \vec{R}^{ext \rightarrow S} = m \vec{\Gamma}_{/R}^G \quad \sum \vec{M}_G^{\vec{R}^{ext \rightarrow S}} = \vec{\delta}_{S/G}$$

$$\vec{\Gamma}_{/R}^G = -\dot{\theta}^2 R \vec{u}_r = \frac{-V^2}{R} \vec{u}_r \quad \dot{\theta} = \frac{V}{R} = \text{constante}$$

Marc Marquez (2014) , 68 ° !!

Théorème de la résultante dynamique

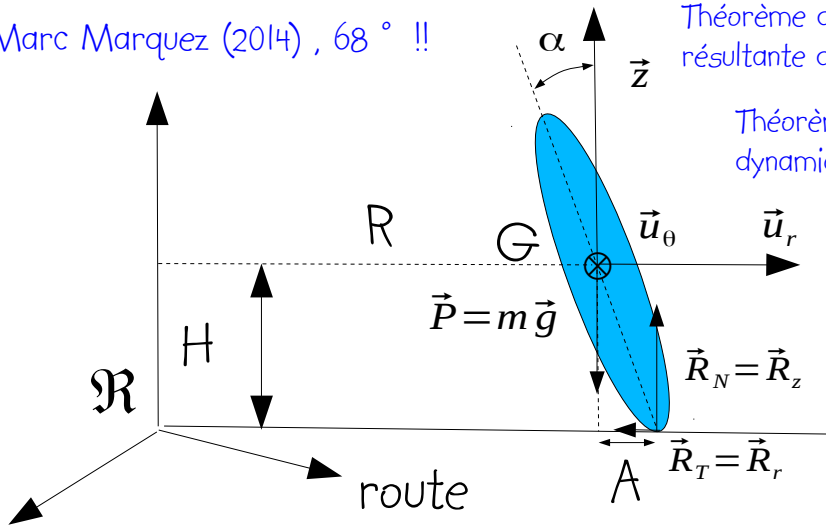
$$R_z = m g \quad R_\theta = 0 \quad R_r = -m \frac{V^2}{R}$$

Théorème du moment dynamique

$$\vec{\delta}_{S/G} = \frac{d}{dt} (\vec{L}_{S/G}) = \frac{d}{dt} (J \dot{\theta} \vec{z}) = 0$$

J moment d'inertie / (oz)

La réaction du sol passe par G !



$$\sum \vec{M}_G^{\vec{R}^{ext \rightarrow S}} = 0 \Rightarrow \vec{M}_{\vec{R}/G} = 0 \text{ car } \vec{M}_{\vec{P}/G} = 0$$

$$m \frac{V^2}{R} H - m g A = 0 \Rightarrow \frac{A}{H} = \text{tg } \alpha = \frac{V^2}{R g}$$

$$\alpha_s \geq \left| \frac{R_T}{R_N} \right| = \frac{V^2}{R g}$$

coefficient de frottement statique

Marc Marquez (2014) , 68 ° !!  $\alpha_s > 2,45$  !

Pour en savoir plus :

-Mécanique générale : Christian Gruber, Presses polytechniques romandes

-Mécanique, J.Ph. Pérez, Masson

-Mécanique , J.-L. Teyssier, J.-P. Ducourtieux, J.-P. Moliton, Armand Collin

-Modules Python

- <https://matplotlib.org>
- <https://numpy.org>